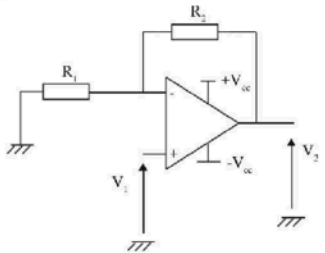


TD1: Oscillateur à pont de Wien

1°) Soit le circuit suivant :



Le signal d'entrée est sinusoïdal :

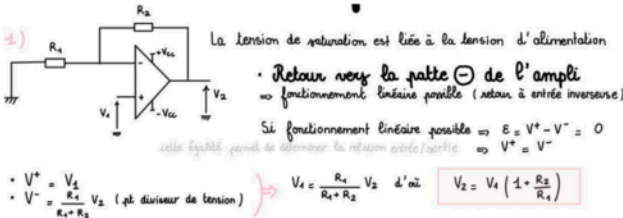
$$v_1(t) = V_1 \sin \omega t$$

On note V_0 la valeur de la tension de saturation de l'amplificateur opérationnel.

Donner un schéma fonctionnel de l'ensemble valable pour le premier harmonique mettant en évidence une non-linéarité normalisée.

A.N. : Calculer la valeur de l'amplitude du premier harmonique $V_2(t)$ pour :

$$R_1 = 1 \text{ k}\Omega \quad R_2 = 4 \text{ k}\Omega \quad V_0 = 13 \text{ V} \quad V_1 = 1 \text{ V}, \text{ puis pour } V_1 = 8 \text{ V}$$



Slew-rate (SR) : c'est la pente maximale que peut restituer la sortie

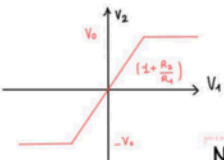
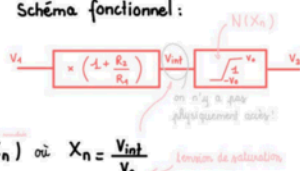


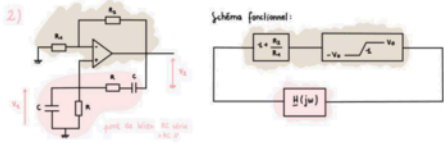
Schéma fonctionnel :



Avec $R_1 = 1 \text{ k}\Omega$, $R_2 = 4 \text{ k}\Omega$, $V_0 = 13 \text{ V}$, $V_1 = 1 \text{ V}$, calculons l'amplitude du 1^{er} harmonique de $v_2(t)$

- Pour $V_1 = 1 \text{ V}$ $\hat{V}_{int} = 5 \text{ V} \Rightarrow \hat{V}_2 = V_2 = 5 \text{ V}$ (donc pas non saturation)
- Pour $V_1 = 8 \text{ V}$ $\hat{V}_{int} = 40 \text{ V}$ et avec $X = \frac{\hat{V}_{int}}{V_0} = \frac{40}{13}$ on lit $N(X_n) = 0,38$

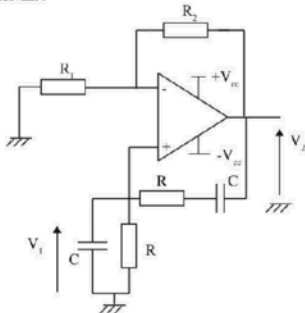
On en déduit l'amplitude du 1^{er} harmonique de $v_2 = 40 \times 0,38 = 15,2 \text{ V}$



$$\underline{H}(j\omega) = \frac{V_2}{V_3} \quad V_3 \uparrow \quad R \quad C \quad \Leftrightarrow \quad \underline{V}_2 = \frac{V_3}{R + j\omega C} \quad \underline{V}_2 \uparrow \quad Z_2 = \frac{R}{1 + j\omega RC} \quad \text{et} \quad Z_3 = R + \frac{1}{j\omega C} \quad \text{et} \quad V_2 = \frac{V_3}{R + j\omega RC} \cdot V_2$$

$$\begin{aligned} \underline{Z}_2 &= \frac{R}{1 + j\omega RC} \quad \text{et} \quad \underline{Z}_3 = R + \frac{1}{j\omega C} \quad \text{et} \quad V_2 = \frac{V_3}{R + j\omega RC} \cdot V_2 \\ \text{soit } \underline{H}(j\omega) &= \frac{V_2}{V_3} = \frac{\frac{R}{1 + j\omega RC}}{\frac{R}{1 + j\omega RC} + \frac{1}{j\omega C}} = \frac{\frac{R}{1 + j\omega RC}}{\frac{j\omega RC}{1 + j\omega RC} + \frac{1}{j\omega C}} = \frac{\frac{R}{1 + j\omega RC}}{\frac{j\omega RC + 1 + j\omega RC}{1 + j\omega RC}} \\ &= \frac{\frac{R}{1 + j\omega RC}}{\frac{j\omega RC + 1 + j\omega RC}{1 + j\omega RC}} = \frac{j\omega RC}{j\omega RC + 1 + j\omega RC} \\ &= \frac{j\omega RC}{j\omega RC + (1 + 2j\omega RC - \omega^2 R^2 C^2)} \\ &= \frac{j\omega RC}{1 - (\omega RC)^2 + 3j\omega RC} \\ &= A_0 \times \frac{2j\sigma \frac{W}{\omega}}{1 - \frac{\omega^2}{\omega_0^2} + 2j\frac{\omega}{\omega_0}} \quad (\text{zone basse}) \end{aligned}$$

2°) On étudie le circuit suivant :



Donner un schéma fonctionnel de l'ensemble mettant en évidence une boucle comprenant une non-linéarité.

Donner la condition limite d'oscillation et la fréquence des oscillations.

Calculer la fréquence des oscillations et l'amplitude de $V_2(t)$ pour :

$$R_1 = 1 \text{ kΩ} \quad R_2 = 4 \text{ kΩ} \quad R = 10 \text{ kΩ} \quad C = 47 \text{ nF} \quad V_0 = 13 \text{ V}$$

On a déduit $\underline{H}(j\omega_0)$ aussi réel. Or d'après l'expression de $\underline{H}(j\omega)$, son dénominateur doit être au minimum pour que la non-linéarité soit réelle.

$$\text{soit } 1 - (\omega RC)^2 \omega_0^2 = 0 \quad \text{d'où } \omega_{00} = \frac{1}{RC} \quad \text{et la fréquence } f_0 = \frac{1}{2\pi RC}$$

Physiquement, s'il y a oscillation, ça sera forcément à cette fréquence là !

$$\text{Soit } \omega = \omega_{00} = \frac{1}{RC} \text{ soit } \underline{H}(j\omega_0) = \frac{j\frac{R}{C} \omega_0}{1 - \left(\frac{R}{RC}\right)^2 + 3j\frac{R}{C} \omega_0} = \frac{j}{3} = \frac{1}{3}$$

$$\left(1 + \frac{R_2}{R_1}\right) \underline{H}(j\omega_0) N(X_0) = 1.$$

$N(X_0) = 6.5$ d'après la courbe suivante

il faut donc que $1 + \frac{R_2}{R_1} \geq 3$ pour qu'il y ait oscillation

$$\text{Soit } R_2 = 4 \text{ kΩ}, R_1 = 4 \text{ kΩ}, R = 10 \text{ kΩ}, C = 47 \text{ nF}, V_0 = 13 \text{ V}$$

$$\bullet \frac{R_2}{R_1} = 1 \text{ et } 1 + 1 = 2 \leq 3 \Rightarrow \text{oscillation impossible}$$

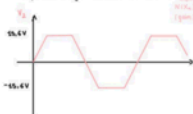
$$\bullet \text{fréq. } \omega = \frac{1}{2\pi RC} = 333 \text{ Hz}$$

* Amplitude du 1^{er} harmonique de V_2

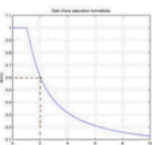
$$\left(1 + \frac{R_2}{R_1}\right) \frac{1}{3} N(X_0) = 1 \Rightarrow \frac{1}{3} N(X_0) = 1 - 1 = 0 \quad N(X_0) = 3/5 = 0.6$$

$$\text{On lit sur la courbe } X_0 = 2. \quad \text{Or par définition } X_0 = \frac{V_{00}}{V_0} = 1/3 \Rightarrow V_{00} = 2 \times 13 \text{ V} = 26 \text{ V}$$

$$\text{Amplitude du fondamental de } V_2 = 0.6 \times 26 = 15.6 \text{ V}$$

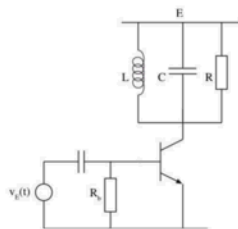


V_2 ayant sinusoidal avec $\hat{V}_2 = 5.2 \text{ V}$



TD2 : Amplificateur classe C

On étudie le dispositif suivant :



$$v_E(t) = V_E \sin \omega t$$

$$\begin{aligned} R &= 5 \text{ k}\Omega & L &= 80 \mu\text{H} \\ C &= 330 \text{ pF} & R_b &= 150 \text{ k}\Omega \\ V_E &= 3 \text{ V} & E &= 18 \text{ V} \end{aligned}$$

$$\begin{aligned} \beta &= 100 & V_T &= 38 \text{ mV} \\ I_S &= 0.1 \text{ nA} & & \end{aligned}$$

1°) Vérifier que les valeurs numériques de V_T et I_S permettent de retrouver le point de polarisation habituellement observé pour d'un transistor faible puissance.

2°) D'après le cours, l'équation reliant V_{BE0} et I_{B0} , due au transistor est :

$$I_{C0} = I_S \left[e^{\frac{V_{BE0}}{V_T}} I_0 \left(\frac{V_E}{V_T} \right) - 1 \right]$$

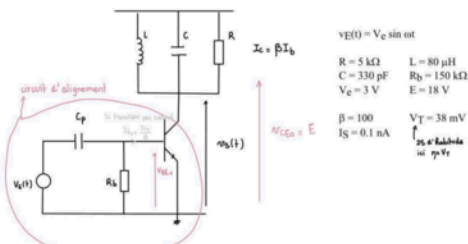
$I_0(x)$ étant la fonction de Bessel modifiée de première espèce d'ordre 0

Montrer que, pour le circuit considéré, la valeur de V_{BE0} peut être obtenue en résolvant l'équation :

$$\frac{V_{BE0}}{V_T} = \ln \left(1 - \frac{V_{BE0}}{R_b I_S} \right) - \ln \left(I_0 \left(\frac{V_E}{V_T} \right) \right)$$

Classeur d'un
transistor

Un état t_1 \Rightarrow classe A
conducteur de temps entre t_1 et t_2 \Rightarrow classe B
muet au temps t_2 \Rightarrow classe C



1) Pour un transistor bipolaire "standard"

$$I_{C0} + I_S \left[e^{\frac{V_{BE0}}{V_T}} - 1 \right] = 0.9 \text{ mA}$$

on s'est cohérent pour un transistor
faible puissance

$$2) I_{C0} + I_S \left[e^{\frac{V_{BE0}}{V_T}} I_0 \left(\frac{V_E}{V_T} \right) - 1 \right]$$

terme correctif
fonction du biais modifié de 1/2 ème puissance d'ordre 0

$$V_{BE0} = - R_b \frac{I_{C0}}{\beta}, \quad \text{injection} I_{C0} \text{ dans cette expression}$$

$$V_{BE0} = - \frac{R_b}{\beta V_T} I_S \left[\exp \left(\frac{V_{BE0}}{V_T} \right) I_0 \left(\frac{V_E}{V_T} \right) - 1 \right]$$

$$\frac{V_{BE0}}{V_T} = - \frac{R_b}{\beta V_T} I_S \left[\exp \left(\frac{V_{BE0}}{V_T} \right) I_0 \left(\frac{V_E}{V_T} \right) - 1 \right]$$

$$- \frac{V_{BE0}}{V_T} = \exp \left(\frac{V_{BE0}}{V_T} \right) I_0 \left(\frac{V_E}{V_T} \right) - 1$$

$$1 - \frac{V_{BE0}}{V_T} = \exp \left(\frac{V_{BE0}}{V_T} \right) I_0 \left(\frac{V_E}{V_T} \right)$$

$$\ln \left(1 - \frac{V_{BE0}}{V_T} \right) = \frac{V_{BE0}}{V_T} \ln \left[I_0 \left(\frac{V_E}{V_T} \right) \right]$$

d'où

$$\frac{V_{BE0}}{V_T} = \ln \left(1 - \frac{V_{BE0}}{V_T} \right) - \ln \left(I_0 \left(\frac{V_E}{V_T} \right) \right)$$

$$3) \quad \ln \left[I_0 \left(\frac{3000}{3k} \right) \right] = 95,85 \quad (\text{sur Wolfram Alpha})$$

$$\text{Notons } x = \frac{V_{BE0}}{V_T} \Rightarrow x = \ln \left[1 - \frac{x}{R_B Z_0} \right] = \ln \left[I_0 \left(\frac{V_{BE}}{V_T} \right) \right]$$

$$\text{Or } \frac{R_B I_0}{B V_T} = 3,9 \cdot 10^{-4}$$

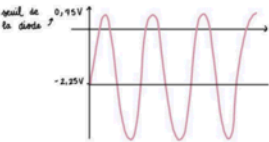
$$\Leftrightarrow x = \ln \left[1 - \frac{x}{3,9 \cdot 10^{-4}} \right] = 95,85$$

On résout via la calculatrice : $x = -59,32$

$$\frac{V_{BE0}}{V_T} \quad \text{d'où} \quad V_{BE0} = -2,25 \text{ V}$$

$$I_{C0} = \frac{B V_{BE0}}{R_B} = 4,5 \text{ mA}$$

$$4) \quad v_{BE}(t) = V_{BE0} + V_{be}(t)$$



fonctionnement d'un circuit d'alignement

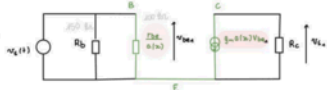
4') Tracer l'allure de $v_{BE}(t) = V_{BE0} + V_{be}(t)$. Retrouver le fonctionnement d'un circuit d'alignement.

Quel est le « seuil » de la diode mis en évidence?



Passage de petit signal à 1^{er} harmonique, on qualifie le terme $a(\infty)$ de terme continu

$$\tilde{a} \quad \tilde{a} = \frac{1}{2\pi\sqrt{LC}} \quad \text{fréquence centrale}$$



$$a(\infty) \approx \frac{2}{\pi} = \frac{2 \times 36}{3000} = 0,025$$

$$g_m = \frac{I_{C0}}{V_T} = \frac{4,5 \text{ mA}}{26 \text{ mV}} = 40 \text{ mS}$$

$$r_{be} = \frac{B V_T}{I_{C0}} = \frac{400 \times 26 \cdot 10^{-3}}{4,5 \cdot 10^{-3}} = 2,53 \text{ k}\Omega$$

$$\text{D'où : } \frac{r_{be}}{a(\infty)} = 400 \text{ k}\Omega \quad / \quad g_m a(\infty) V_{BE0} = 4 \text{ mS}$$

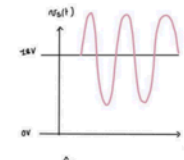
$$6) \quad \frac{v_{BE0}}{v_{BE}} = \frac{-R_C g_m a(\infty) v_{BE0}}{V_{BE}}$$

$$= -R_C g_m a(\infty)$$

$$= -5 \cdot 10^{-3} \cdot 40 \text{ mS}$$

$$\frac{v_{BE0}}{v_{BE}} = -5$$

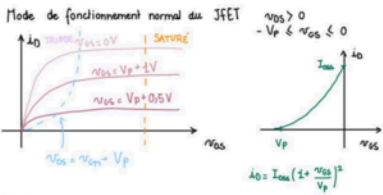
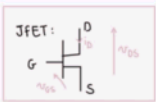
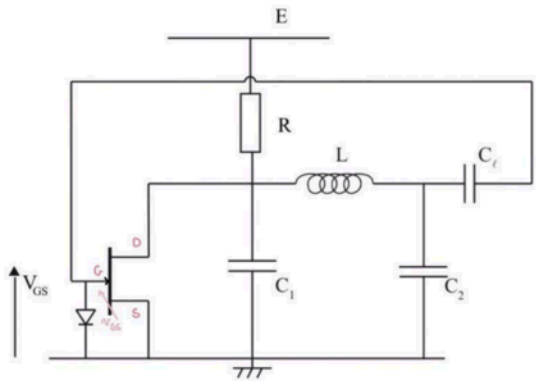
$$\hat{v}_{BE}(t) = 5 \times 3 \times 45 \text{ V}$$



6') En déduire la valeur du gain en tension, de l'amplitude de v_S, ainsi que la valeur du rendement à la fréquence centrale.

$$\text{Rendement} = \frac{\text{Puissance AC dans } R}{P_{min}} = \frac{\frac{R_C^2}{2R}}{\frac{R_C}{2} \times I_{C0}} = \frac{\frac{225}{2R}}{\frac{26 \times 4,5}{2} \text{ mA}} = \frac{225}{26 \times 4,5 \text{ mA}} = 83\%$$

TD3 : Oscillateur à JFET



$$v_{GS}(t) = V_{GS0} + V_{gs} \cos(\omega t)$$

$$\begin{aligned} i_D &= I_{DSS} \left(1 + \frac{V_{GS}}{V_p} \right)^2 = I_{DSS} \left(1 + \frac{V_{GS0} + V_{gs} \cos(\omega t)}{V_p} \right)^2 \\ &= I_{DSS} \left[1 + \frac{2}{V_p} (V_{GS0} + V_{gs} \cos(\omega t)) + \left(\frac{V_{GS0} + V_{gs} \cos(\omega t)}{V_p} \right)^2 \right] \\ &\approx I_{DSS} \left[1 + 2 \frac{V_{GS0}}{V_p} + \frac{2V_{gs}}{V_p} \cos(\omega t) + \left(\frac{V_{GS0}}{V_p} \right)^2 + \frac{2}{V_p^2} V_{GS0} V_{gs} \cos(\omega t) + \left(\frac{V_{gs}}{V_p} \right)^2 \cos^2(\omega t) \right] \\ &\approx I_{DSS} \left[1 + \frac{2V_{GS0}}{V_p} + \left(\frac{V_{GS0}}{V_p} \right)^2 + \left[\frac{2V_{gs}}{V_p} + \frac{2V_{gs}V_{GS0}}{V_p^2} \right] \cos(\omega t) + \left(\frac{V_{gs}}{V_p} \right)^2 \cos^2(\omega t) \right] \\ \text{Or } \cos^2(\omega t) &= \frac{1 + \cos(2\omega t)}{2} \\ &= I_{DSS} \left[1 + \frac{2V_{GS0}}{V_p} + \left(\frac{V_{GS0}}{V_p} \right)^2 + \left[\frac{2V_{gs}}{V_p} + \frac{2V_{gs}V_{GS0}}{V_p^2} \right] \cos(\omega t) + \left(\frac{V_{gs}}{V_p} \right)^2 \frac{1}{2} + \left(\frac{V_{gs}}{V_p} \right)^2 \frac{1}{2} \cos(2\omega t) \right] \end{aligned}$$

On rappelle que le fonctionnement d'un transistor JFET canal N en signaux quelconques est caractérisé par :

$$i_D = I_{DSS} \left(1 + \frac{v_{GS}}{V_p} \right)^2 \text{ pour } -V_p < v_{GS} < 0$$

Le signal observé aux bornes de la grille est supposé sinusoïdal (plus une composante continue) :

$$v_{GS}(t) = V_{GS0} + V_{gs} \cos(\omega t)$$

V_{GS0} et V_{gs} étant telles que : $-V_p < v_{GS}(t) < 0$

$i_D(t)$ est alors décomposable en série de Fourier :

$$i_D(t) = I_{D0} + I_{D1} \cos(\omega t) + \dots$$

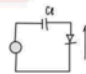
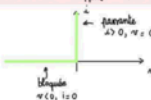
1°) À l'aide d'un simple développement de $i_D = I_{DSS} \left(1 + \frac{v_{GS}}{V_p} \right)^2$, déterminer les expressions de I_{D0} et I_{D1} .

On en déduit :

$$\left\{ \begin{array}{l} I_{D0} = I_{DSS} \left[1 + \frac{2V_{GS0}}{V_p} + \left(\frac{V_{GS0}}{V_p} \right)^2 + \frac{1}{2} \left(\frac{V_{gs}}{V_p} \right)^2 \right] \\ = I_{DSS} \left[\left(1 + \frac{V_{GS0}}{V_p} \right)^2 + \frac{1}{2} \left(\frac{V_{gs}}{V_p} \right)^2 \right] \\ I_{D1} = I_{DSS} \left[2 \frac{V_{gs}}{V_p} \left(1 + \frac{V_{GS0}}{V_p} \right) \right] \end{array} \right.$$

2) Relation entre V_{GS} et V_{DS} ?

Déroulement de cette - Rappeler : avec diode non souci

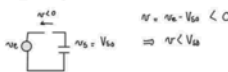


1) D passante $\Rightarrow V_{DS} = V_{GS}$



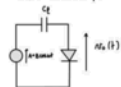
$$\begin{aligned} i_C &= C \frac{dV_{CE}}{dt} > 0 \\ \Rightarrow V_{CE} &\text{ tension croissante} \end{aligned}$$

2) D bloquée



$$V_{DS} = V_{GS} - V_{BE} < 0 \Rightarrow V < V_{BE}$$

direction à cette sup.



$$\text{Avec aussi: } V_{DS} = -A - B + 0,7 - (A - B \cos \omega t)$$

$$= B(\cos \omega t - 1) + 0,7$$

$$v_{D(t)} = V_{DS(t)}$$

$$= -B + 0,7 + B \cos \omega t$$

$$\leadsto V_{DS0} = -V_B + 0,7$$

$$3) I_{DQ} = \frac{2I_{DS0}V_B}{V_P} \left(1 + \frac{V_{DS0}}{V_P} \right)$$

$$\begin{aligned} g = \frac{I_{DQ}}{V_{DS0}} &= \frac{2I_{DS0}}{V_P} \left(1 + \frac{V_{DS0}}{V_P} \right) = \frac{2I_{DS0}}{V_P} \left(1 + \frac{-V_B + 0,7}{V_P} \right) \\ &= \frac{2I_{DS0}}{V_P} \left(1 + \frac{0,7}{V_P} - \frac{V_B}{V_P} \right) \end{aligned}$$

$$g(x) = \frac{2I_{DS0}}{V_P} \left(1 + \frac{0,7}{V_P} - x \right)$$

3°) On pose :

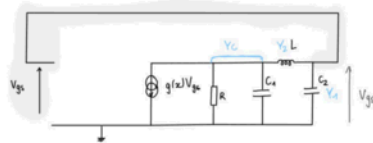
$$g = \frac{I_{DQ}}{V_{DS0}}$$
 pente équivalente du JFET pour le premier harmonique

Calculer g en fonction de $x = \frac{V_{DS}}{V_P}$ et donner un schéma équivalent du transistor valable pour le 1^{er} harmonique.

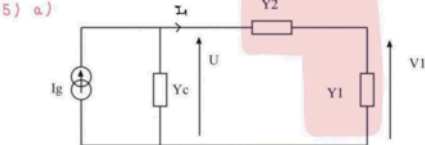
Schéma petit signal du JFET \Rightarrow schéma équivalent au transistor 1^{er} h. :



4) schéma équivalent de l'ensemble au premier harmonique



4°) Donner un schéma équivalent de l'ensemble valable pour le 1^{er} harmonique.



$$\bullet \quad I_A = \frac{V_{in}}{Y_{in} + Y_C} I_g$$

$$\bullet \quad V_A = \frac{I_A}{Y_A} = \frac{V_{in}}{Y_{in} + Y_C} I_g \cdot \frac{1}{Y_A} = \frac{\frac{V_{in} Y_A}{Y_{in} + Y_C}}{Y_A} I_g \cdot \frac{1}{Y_A} \\ = \frac{V_{in} I_g}{Y_{in} + Y_C Y_A + Y_A^2}$$

$$\text{d'où} \quad \frac{V_A}{I_g} = \frac{Y_A}{Y_{in} Y_A + Y_A Y_C + Y_C Y_A}$$

$$5) b) \quad Y_A = j C_A \omega \quad Y_2 = \frac{1}{j \omega L} \quad Y_C = \frac{1}{j \omega} + j C_A \omega$$

On remplace dans l'équation ci-dessus

$$\frac{V_A}{I_g} = \frac{\frac{1}{j \omega L}}{\frac{j C_A \omega}{j \omega L} + \frac{\frac{1}{j \omega} + j C_A \omega}{j \omega L} + j C_A \omega \left(\frac{1}{j \omega L} + j C_A \omega \right)}$$

$$= \frac{\frac{1}{j \omega L}}{\frac{C_A}{L} + \frac{1}{j \omega R} + \frac{C_A}{L} + j \omega \frac{C_A}{R} - C_A C_2 \omega^2}$$

$$= \frac{\frac{1}{j \omega L}}{\frac{C_A + C_2}{L} + \frac{1}{j \omega R} + j \omega \frac{C_A}{R} - C_A C_2 \omega^2}$$

$$\frac{V_A}{I_g} = \frac{R}{(C_A + C_2) j \omega R + \frac{1}{L} - \omega^2 L C_2 - j \omega R C_A C_2 \omega^3}$$

$$\times \quad V_{GS} = -g(x) \quad V_{GS} = \frac{R}{j R (C_A + C_2) \omega + \frac{1}{L} - \omega^2 L C_2 - j C_A C_2 R L \omega^3}$$

$$\downarrow \quad = -g(x) \frac{R}{j R (C_A + C_2) \omega + \frac{1}{L} - \omega^2 L C_2 - j C_A C_2 R L \omega^3}$$

↑
réel réel il faut donc que \circ soit réel

$$\cancel{\omega^2 R (C_A + C_2) - C_A C_2 R L \omega^3 = 0}$$

$$\Rightarrow C_A + C_2 = C_A C_2 L \omega^2$$

$$\Rightarrow \omega^2 = \frac{C_A + C_2}{C_A C_2 L} \quad \text{d'où} \quad \omega = \sqrt{\frac{C_A + C_2}{C_A C_2 L}} \Rightarrow \frac{\theta}{T} = \frac{1}{2\pi \sqrt{\frac{C_A + C_2}{C_A C_2 L}}} \quad \text{et} \quad \theta = \frac{x}{2\pi \sqrt{\frac{C_A + C_2}{C_A C_2 L}}}$$

$$\downarrow = -g(x) \frac{\frac{1}{L} - \frac{C_A + C_2}{C_A C_2 L} L C_2}{\frac{C_A + C_2}{C_A C_2 L}}$$

$$= +g(x) \frac{R}{\frac{C_2}{C_A}} \rightarrow g(x) \propto \frac{R C_A}{C_2} = \frac{A}{C_2}$$

$$g(x) = \frac{C_2}{R C_A} \quad x = \frac{V_{GS}}{V_P}$$

Application numérique :

$I_{DS} = 10 \text{ mA}$

$V_P = 4 \text{ V}$

$C_1 = 100 \text{ pF}$

$C_2 = 220 \text{ pF}$

$L = 50 \text{ mH}$

$R = 1 \text{ k}\Omega$

TD4 : Propagation dans une ligne en régime initial

1) Interrupteur fermé à $t = 0$

$$(1) V(x, p) = V^+(p) e^{-\frac{Rt}{L}} + V^-(p) e^{+\frac{Rt}{L}}$$

$$(2) I(x, p) = \frac{V^+(p)}{R_L} e^{-\frac{Rt}{L}} - \frac{V^-(p)}{R_L} e^{+\frac{Rt}{L}}$$

$$(3) V(0, p) = \frac{E}{p} \quad (\text{c'est en équation})$$

$$(4) V(\ell, p) = RI(\ell, p)$$

$$\bullet (1) \text{ et } (3) \Rightarrow (5) \quad \frac{E}{p} = V^+(p) + V^-(p)$$

$$\bullet (4), (4) \text{ et } (2) \quad V^+(p) e^{-\frac{Rt}{L}} + V^-(p) e^{+\frac{Rt}{L}} = R \left[\frac{V^+(p)}{R_L} e^{-\frac{Rt}{L}} - \frac{V^-(p)}{R_L} e^{+\frac{Rt}{L}} \right]$$

On introduit le temps de parcours
dans la ligne $\tau = \frac{L}{v}$

$$\Rightarrow V^+(p) e^{-\frac{Rt}{L}} \left(1 - \frac{R}{R_L} \right) + V^- e^{+\frac{Rt}{L}} \left(1 + \frac{R}{R_L} \right) = 0$$

$$V^+(p) e^{-\frac{Rt}{L}} \left(1 - \frac{R}{R_L} \right) + V^- e^{-\frac{Rt}{L}} \left(1 + \frac{R}{R_L} \right) = 0$$

$$V^+(p) e^{-\frac{Rt}{L}} \frac{\frac{R_L - R}{R_L + R}}{\frac{R_L + R}{R_L}} + V^- = 0$$

$$\text{Comme } \frac{\frac{R_L - R}{R_L + R}}{\frac{R_L + R}{R_L}} = \frac{R_L - R}{R_L + R} \Rightarrow V^+(p) e^{-\frac{Rt}{L}} \times (-\Gamma) + V^-(p) = 0$$

$$\text{On note } \Gamma = \frac{R_L - R}{R_L + R} \Rightarrow V^-(p) = \Gamma e^{-\frac{Rt}{L}} V^+(p)$$

$$\bullet (1) \text{ et } (5) \Rightarrow (3) \quad \frac{E}{p} = V^+(p) + V^-(p)$$

$$0 = -\Gamma e^{-\frac{Rt}{L}} V^+(p) + V^+(p) \quad (2)$$

$$V^+(p) = \frac{\left| \begin{array}{cc} \frac{R}{L} & -1 \\ 1 & \frac{1}{R_L e^{\frac{Rt}{L}}} \end{array} \right|}{\left| \begin{array}{cc} 1 & 1 \\ R_L e^{\frac{Rt}{L}} & 1 \end{array} \right|} = \frac{\frac{E}{p}}{1 + \Gamma e^{-\frac{Rt}{L}}}$$

$$V^-(p) = \frac{\left| \begin{array}{cc} -1 & \frac{R}{L} \\ -\Gamma e^{-\frac{Rt}{L}} & 0 \end{array} \right|}{\left| \begin{array}{cc} 1 & 1 \\ -\Gamma e^{-\frac{Rt}{L}} & 1 \end{array} \right|} = \frac{\frac{E}{p} \Gamma e^{-\frac{Rt}{L}}}{1 + \Gamma e^{-\frac{Rt}{L}}}$$

| RÉSOLUTION PAR MÉTHODE DES DÉTERMINANTS | |
|---|--|
| $\begin{vmatrix} E & 0 \\ 0 & 1 + \Gamma e^{-\frac{Rt}{L}} \end{vmatrix}$ | $\begin{vmatrix} 1 & 1 \\ -\Gamma e^{-\frac{Rt}{L}} & 1 \end{vmatrix}$ |
| $E \times 1 + \Gamma e^{-\frac{Rt}{L}} \times 0$ | $1 \times 1 + \Gamma e^{-\frac{Rt}{L}} \times (-\Gamma e^{-\frac{Rt}{L}})$ |

$$V(0, p) = V^+(p) + V^-(p) = \frac{E}{p} \rightarrow \Delta K$$

$$V(\ell, p) = V^+(p) e^{-\Gamma p} + V^-(p) e^{\Gamma p}$$

$$= \frac{E}{p} \frac{-1}{1 + \Gamma e^{-\frac{Rt}{L}}} e^{-\Gamma p} + \frac{E}{p} \frac{\Gamma e^{\frac{Rt}{L}}}{1 + \Gamma e^{-\frac{Rt}{L}}} e^{\Gamma p}$$

$$+ \frac{E}{p} \frac{-1}{1 + \Gamma e^{-\frac{Rt}{L}}} \left[e^{-\Gamma p} + \Gamma e^{-\Gamma p} \right]$$

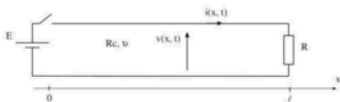
$$+ \frac{E}{p} \frac{\Gamma e^{\frac{Rt}{L}}}{1 + \Gamma e^{-\frac{Rt}{L}}} \left(1 + \Gamma \right) \quad \text{avec } \Gamma = \frac{R_L - R}{R_L + R}$$

$$V(\ell, p) = \frac{E}{p} e^{-\Gamma p} \frac{2R}{R_L + R} - \frac{1}{1 + \Gamma e^{-\frac{Rt}{L}}} \quad K$$

$$\frac{-1}{1 + \Gamma e^{-\frac{Rt}{L}}} = 1 - \Gamma e^{-\Gamma p} + \Gamma^2 e^{-2\Gamma p} - \Gamma^3 e^{-3\Gamma p} + \Gamma^4 e^{-4\Gamma p}$$

$$\frac{1}{1 + \Gamma e^{-\frac{Rt}{L}}} = 1 - \Gamma e^{-\Gamma p} + \Gamma^2 e^{-2\Gamma p} - \Gamma^3 e^{-3\Gamma p} + \Gamma^4 e^{-4\Gamma p}$$

Soit le circuit suivant :



1) On ferme l'interrupteur à $t = 0$, les équations de la ligne sont :

$$V(x, p) = V^+(p) e^{-\frac{Rt}{L}} + V^-(p) e^{+\frac{Rt}{L}}$$

$$I(x, p) = \frac{V^+(p)}{R_L} e^{-\frac{Rt}{L}} - \frac{V^-(p)}{R_L} e^{+\frac{Rt}{L}}$$

A l'aide des équations aux limites en $x = 0$ et $x = \ell$, (qui permettent de tenir compte de la nature exacte des extrémités), déterminer les expressions de $V^+(p)$ et $V^-(p)$.

En déduire l'expression de $v(\ell, t)$. Tracer l'allure de $v(\ell, t)$

$$\sim V(l, p) = \frac{E}{P} e^{-\tau p} \frac{2R}{R+R_c} \left[-1 - \Gamma e^{-2\tau p} + \Gamma^2 e^{-4\tau p} - \Gamma^3 e^{-6\tau p} + \Gamma^4 e^{-8\tau p} \right]$$

$$= \frac{E}{P} \frac{2R}{R+R_c} \left[e^{-\tau p} - \Gamma e^{-3\tau p} + \Gamma^2 e^{-5\tau p} - \Gamma^3 e^{-7\tau p} + \Gamma^4 e^{-9\tau p} \right]$$

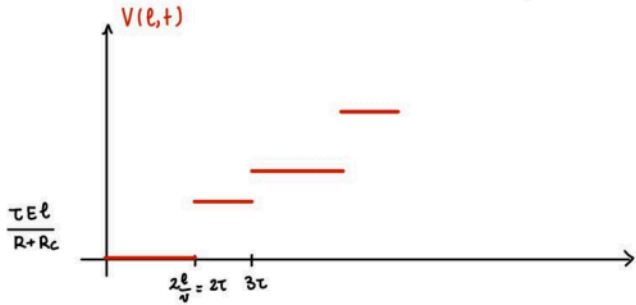
$$\xrightarrow{\mathcal{L}^{-1}} V(l, t) = E \frac{2R}{R+R_c} \left[\mu(t-\tau) - \Gamma \mu(t-3\tau) + \Gamma^2 \mu(t-5\tau) - \Gamma^3 \mu(t-7\tau) + \Gamma^4 \mu(t-9\tau) \right]$$

$$V(l, t) = E \frac{2R}{R+R_c} \sum_{i=0}^{+\infty} [(-\Gamma)^i \mu(t - (2i+1)\tau)]$$

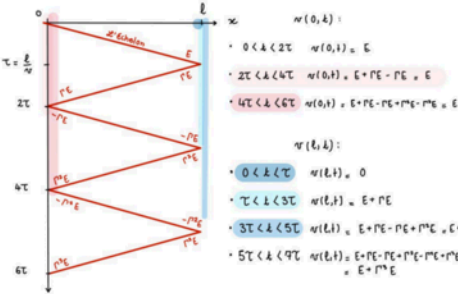
$$V(l, p) = \frac{E}{P} \frac{2R}{R+R_c} \frac{e^{-\tau p}}{1 + \Gamma e^{-2\tau p}} \quad (\star)$$

$$\lim_{t \rightarrow \infty} V(l, t) = \lim_{p \rightarrow 0} p V(l, p)$$

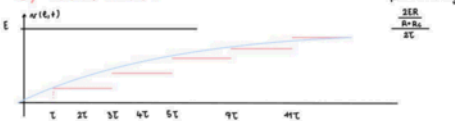
$$= \lim_{p \rightarrow 0} p \frac{E}{P} \frac{2R}{R+R_c} \frac{e^{-\tau p}}{1 + \Gamma e^{-2\tau p}} = E \frac{2R}{R+R_c} \frac{1}{\frac{2R}{R+R_c}} = E$$



3) Méthode des tableaux : que nous savoir ce qui se passe aux extrémités de la ligne



3) $R_C \gg R_L \quad v(t,t)$?

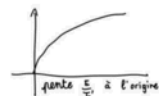


$$T < t < 3T \quad E(1 - P_C^2)$$

$$E \left(1 - \frac{R^2 - 2RR_C + R_C^2}{R^2 + 2RR_C + R_C^2} \right)$$

$$E \left[\frac{4RR_C}{R^2 + 2RR_C + R_C^2} \right]$$

ensemble bip & un
peu bas pour réponse initiale



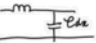
$$\frac{R}{R + j\omega L} = \frac{1}{1 + j\frac{\omega}{\omega_0}L}$$

$$\frac{ER_C}{L} = \frac{ER_C}{T(R+R_C)}$$

$$L = T(R+R_C)$$

$$\sim T R_C = \sqrt{\frac{L}{C}}$$

da
dans
 $dI/dt = dI/dx = dI/dl$



3°) Étudier $v(t,t)$ lorsque $R_C \gg R_L$.

Dans ce cas la réponse peut être assimilée à un premier ordre. Déterminer une approximation de la constante de temps de ce premier ordre, et donner un schéma équivalent en « constantes localisées » du circuit ci-dessus.

TD5 : Modélisation de la commutation d'un composant d'une ligne de transmission

SYSTÈMES ÉLECTRONIQUES

$$\text{4.) } V(x_0, p) = V^+(p) e^{-\frac{Rt}{V}} + V^-(p) e^{\frac{Rt}{V}} + \frac{E}{p}$$

$$I(x_0, p) = \frac{V'(p)}{R_C} e^{-\frac{Rt}{V}} - \frac{V'(p)}{R_C} e^{\frac{Rt}{V}}$$

$$\text{5.) } \Rightarrow \text{6.) } v(t, p) = \frac{E}{p}$$

$$\begin{aligned} \text{7.) } & v(0, t) = R i(0, t) \\ & v(0, t) = -R v(0, p) \end{aligned}$$

$$\text{8.) } \begin{aligned} v(t, p) &= V^+(p) e^{-\frac{Rt}{V}} + V^-(p) e^{\frac{Rt}{V}} - \frac{E}{p} + \frac{E}{p} \\ &\Rightarrow V^+(p) e^{\frac{Rt}{V}} - V^-(p) e^{\frac{Rt}{V}} = 0 \end{aligned} \quad \text{d'après (5)}$$

$$\Rightarrow V^+(p) + V^-(p) = \frac{E}{p} = -R \left[\frac{V^+(p)}{R_C} - \frac{V^-(p)}{R_C} \right] \quad \text{d'après (2)}$$

$$\Rightarrow V^+(p) \left[1 + \frac{R}{R_C} \right] - V^-(p) \left[1 - \frac{R}{R_C} \right] = -\frac{E}{p} \quad \text{d'après (2)}$$

$$\text{D'où, en 2 équations à 2 inconnues : } \begin{cases} V^+(p) e^{-\frac{Rt}{V}} + V^-(p) e^{\frac{Rt}{V}} = 0 \\ V^+(p) \left[1 + \frac{R}{R_C} \right] - V^-(p) \left[1 - \frac{R}{R_C} \right] = -\frac{E}{p} \end{cases}$$

$$\begin{cases} 0 = V^+(p) e^{-\frac{Rt}{V}} + V^-(p) \\ 0 = V^+(p) e^{-\frac{Rt}{V}} + V^-(p) \end{cases}$$

$$0 = V^+(p) e^{-\frac{Rt}{V}} + V^-(p) \quad (\text{puis } t \leq E/R)$$

$$\begin{cases} 0 = V^+(p) + V^-(p) \frac{1 + \frac{R}{R_C}}{1 - \frac{R}{R_C}} \\ 0 = V^+(p) + V^-(p) \frac{R_C + R}{R_C - R} \end{cases}$$

$$\begin{cases} 0 = V^+(p) + V^-(p) \\ -\frac{E}{p} \frac{R_C}{R_C + R} = V^+(p) - V^-(p) \end{cases} \quad \begin{array}{l} \text{équation de Cramer} \\ \text{simplification par méthode élémentaire} \end{array}$$

$$\begin{aligned} V^+(p) &= \frac{\frac{E}{p} \frac{R_C}{R_C + R}}{\frac{1 + \frac{R}{R_C}}{1 - \frac{R}{R_C}}} \quad \text{et} \quad V^-(p) = \frac{\frac{E}{p} \frac{R_C}{R_C + R}}{\frac{1 - \frac{R}{R_C}}{1 + \frac{R}{R_C}}} \\ &= \frac{\frac{E}{p} \frac{R_C}{R_C + R}}{\frac{1 + \frac{R}{R_C}}{1 - \frac{R}{R_C}}} \end{aligned}$$

$$\begin{aligned} V^+(p) &= \frac{\frac{E}{p} \frac{R_C}{R_C + R}}{\frac{1 + \frac{R}{R_C}}{1 - \frac{R}{R_C}}} = \frac{\frac{E}{p} \frac{R_C}{R_C + R}}{\frac{-4}{1 - \frac{R}{R_C} e^{2Rt}}} = \frac{\frac{E}{p} \frac{R_C}{R_C + R}}{\frac{4}{1 + \frac{R}{R_C} e^{2Rt}}} \\ V^-(p) &= -\frac{\frac{E}{p} \frac{R_C}{R_C + R}}{\frac{1 + \frac{R}{R_C}}{1 - \frac{R}{R_C}}} = \frac{\frac{E}{p} \frac{R_C}{R_C + R}}{\frac{-4}{1 + \frac{R}{R_C} e^{2Rt}}} = \frac{\frac{E}{p} \frac{R_C}{R_C + R}}{\frac{4}{1 - \frac{R}{R_C} e^{2Rt}}} \end{aligned}$$

$$\text{9.) } c) \quad V(0, p) = V^+(p) + V^-(p) + \frac{E}{p}$$

$$= -\frac{E}{p} \frac{R_C}{R_C + R} + \frac{4}{1 + \frac{R}{R_C} e^{2Rt}} + \frac{E}{p} \frac{R_C}{R_C + R} e^{-2Rt} - \frac{4}{1 - \frac{R}{R_C} e^{2Rt}} + \frac{E}{p}$$

$$V(0, p) \approx \frac{E}{p} \left[-\frac{4}{R_C + R} + \frac{(1 + \frac{R}{R_C}) e^{2Rt}}{1 - \frac{R}{R_C} e^{2Rt}} \right]$$

On utilise les limites de la valeur forte / nulle

$$\lim_{t \rightarrow 0^+} v(0, t) = \lim_{p \rightarrow 0^+} p V(0, p) = \lim_{p \rightarrow 0^+} p \left[\frac{E}{p} \left[-\frac{4}{R_C + R} + \frac{(1 + \frac{R}{R_C}) e^{2Rt}}{1 - \frac{R}{R_C} e^{2Rt}} \right] \right]$$

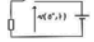
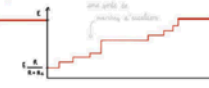
$$\lim_{p \rightarrow 0^+} v(0, t) = E \left[-\frac{4}{R_C + R} \right]$$

$$\lim_{t \rightarrow \infty} v(0, t) = \lim_{p \rightarrow 0^+} p V(0, p) = \lim_{p \rightarrow 0^+} p \left[\frac{E}{p} \left[-\frac{4}{R_C + R} + \frac{(1 + \frac{R}{R_C}) e^{2Rt}}{1 - \frac{R}{R_C} e^{2Rt}} \right] \right]$$

$$= E \left[\frac{4 + R_C}{R_C + R} + \frac{(-4 + 4)}{1 + \frac{R}{R_C}} \right]$$

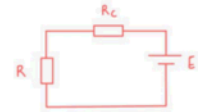
$$\lim_{t \rightarrow \infty} v(0, t) = E$$

10.) b) $v(t, t')$



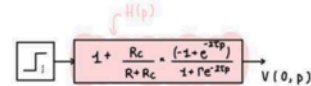
2) Dipôle de Thévenin "vu" par la résistance R

2°) Pour la première onde incidente, à $t = 0$, quel est le dipôle de Thévenin « vu » par la résistance R ? Juste après fermeture de l'interrupteur, tout se passe comme si R était alimentée par une f.e.m E avec sa résistance interne R_c



3) $v(0,t)$ pour $R_c \gg R$?

$$V(0,p) = \frac{E}{p} \left[1 + \frac{R_c}{R+R_c} \times \frac{(-1 + e^{-2\tau p})}{1 + \Gamma e^{-2\tau p}} \right]$$



$$H(p) = 1 + \frac{R_c}{R+R_c} \times \frac{-1 + \frac{1}{1 + 2\tau p}}{1 + \Gamma \frac{1}{1 + 2\tau p}}$$

d'après l'énoncé $e^{-2\tau p} \approx \frac{1}{1 + 2\tau p}$

$$= 1 + \frac{-1 - 2\tau p + 1}{1 + 2\tau p} \times \frac{1 + 2\tau p}{1 + 2\tau p + \Gamma}$$

$$= 1 - \frac{2\tau p}{1 + 2\tau p + \Gamma} = \frac{1 + 2\tau p + \Gamma - 2\tau p}{1 + 2\tau p + \Gamma} = \frac{1 + \Gamma}{1 + \Gamma + 2\tau p}$$

$$\text{Mais : } 1 + \Gamma = \frac{R + R_c + R - R_c}{R + R_c} \quad \text{car on avait } \Gamma = \frac{R - R_c}{R + R_c}$$

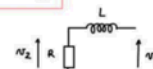
$$\Rightarrow \frac{2R}{R_c}$$

$$\Rightarrow H(p) \approx \frac{2R / R_c}{\frac{2R}{R_c} + 2\tau p} = \frac{1}{1 + 2\tau p \frac{R_c}{2R}} = \frac{1}{1 + \tau p \frac{R_c}{R}}$$

puisque au 1^{er} ordre

$$H(p) \approx \frac{1}{1 + \tau' p} \quad \text{où } \tau' = \tau \frac{R_c}{R} = \frac{L}{R}$$

$$\Rightarrow L = \tau R_c = \frac{\ell}{\pi} R_c = \ell \sqrt{dE} \sqrt{\frac{\sigma}{\epsilon}} = dE$$



système équivalent simplifié avec une inductance

TD6: Boucle à verrouillage de phase à ou exclusif

SYSTÈMES ÉLECTRONIQUES

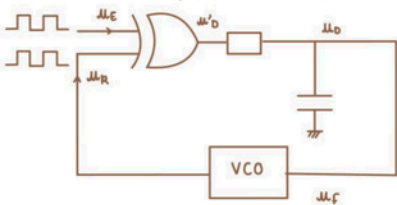
1) Étude du pt de repos

a) Les 2 signaux : un phasé, l'autre déphasé.



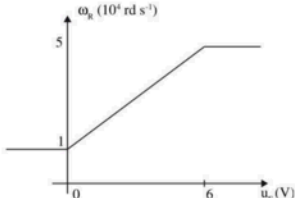
intérêt : pour synchroniser l'oscillateur sur un autre oscillateur.

VCO = oscillateur dont la fréquence est commandée par une tension.

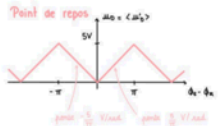
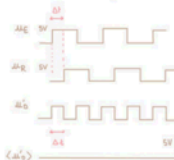


$u_E(t)$ et $u_R(t)$ sont des signaux périodiques carrés.
La sortie du ou exclusif varie entre 0 et +5 V.

La caractéristique du VCO est la suivante :



Bon à ce point :



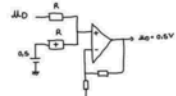
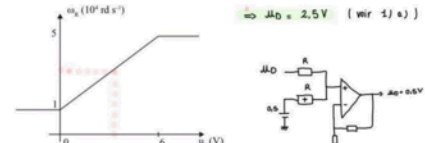
mais on ne distingue pas les 2 signaux avec le XOR.

$$\begin{aligned} \omega_E &= \Omega_E = 3 \cdot 10^4 \text{ rad/s} \\ \theta_E - \theta_R &\approx \pi/2 \end{aligned}$$

$$\Rightarrow u_E = 3V$$

$$\Rightarrow u_D = 2.5V \quad (\text{voir } 1) \text{ a)}$$

1) b) On veut que pour $\Omega_E = 3 \cdot 10^4 \text{ rad/s}$
 $\theta_E - \theta_R \approx \pi/2$



1) Étude du point de repos

a) Tracer la caractéristique du détecteur de phase

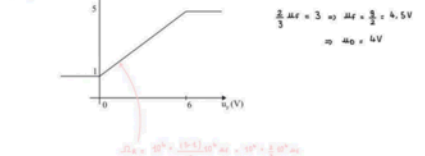
b) Comment modifier le montage pour qu'il fonctionne avec $\Phi_E \cdot \Phi_R = \pm \pi/2$ et $\Omega_E = 3 \cdot 10^4 \text{ rad/s}$?

4) c)

On conserve cette modification pour la suite de l'exercice.

c) Le gain statique du filtre est égal à 1. Calculer $\Phi_E \cdot \Phi_R$ pour $\Omega_E = 4 \cdot 10^4 \text{ rad/s}$.

d) Déterminer les limites de la plage de verrouillage.



4) d) La plage de verrouillage est celle des fréquences ω_E correspondant à $\omega_E \in [0.5V; 5.5V]$

$$\bullet \omega_E = 0.5V \approx \Omega_E = 10^4 \times \frac{2}{3} \times 0.5 = 13.33 \text{ rad/s}$$

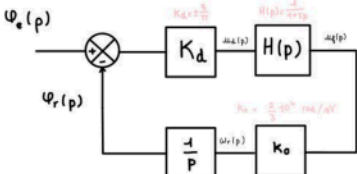
$$\bullet \omega_E = 5.5V \approx \Omega_E = 10^4 \times \frac{2}{3} \times 5.5 = 46.67 \text{ rad/s}$$

2) Régime dynamique

a) Schéma fonctionnel de la boucle

$$\Psi_E(t) = \phi_E + \Psi_e(t)$$

$$\Psi_R(t) = \phi_R + \Psi_r(t)$$



$$K_d = \begin{cases} +\frac{5}{\pi} & \text{si } \Phi_E - \Phi_R = \pi/2 \\ -\frac{5}{\pi} & \text{si } \Phi_E - \Phi_R = -\pi/2 \end{cases} \quad H(p) = \frac{1}{1+\tau p} \quad \text{où } \tau = RC \quad K_o = \frac{2}{3} 10^4 \text{ rad/NV}$$

2) b) fonction de transfert

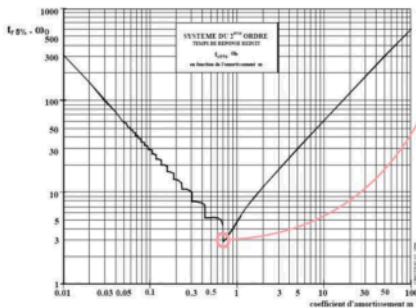
$$\frac{\Psi_r(p)}{\Psi_e(p)} = \frac{\frac{1}{1+\tau p} \frac{K_o}{p}}{1 + K_d \frac{1}{1+\tau p} \frac{K_o}{p}} = \frac{K_d K_o}{(1+\tau p)p K_d K_o} = \frac{K_d K_o}{K_d K_o + p + \tau p^2} = \frac{1}{1 + \frac{p}{K_d K_o} + \frac{\tau p^2}{K_d K_o}}$$

passé-bas ordre 2

$$\left\{ \begin{array}{l} \omega_0 = \sqrt{\frac{K_d K_o}{\tau}} \\ \frac{2m}{\omega_0} = \frac{1}{K_d K_o} \end{array} \right. \Rightarrow \begin{array}{l} m = \frac{1}{K_d K_o} \frac{1}{2} \sqrt{\frac{K_d K_o}{\tau}} \\ m = \frac{1}{2} \frac{1}{\sqrt{\tau K_d K_o}} \end{array}$$

$$H(p) = \frac{A}{1 + \frac{2m}{\omega_0} p + \frac{p^2}{\omega_0^2}}$$

2) c)



donne le temps de réponse minimal

Pour $m = 0,7$ qu'on lit :

$$0,7 = \frac{1}{2} \sqrt{\frac{1}{K_d K_o \tau}}$$

$$\Rightarrow \tau = \frac{1}{(2 \times 0,7)^2 \times K_d K_o}$$

$$K_d = 5/\pi \text{ et } K_o = \frac{2}{3} 10^4$$

$$\text{d'où } \tau = 4,95 \cdot 10^{-5} \text{ s}$$

QUESTION BONUS

Que vaut le temps de réponse dans ce cas ? t_r

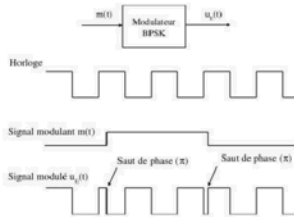
$$\text{Pour } m = 0,7, \omega_0 = t_{R,abs} = 3 \Rightarrow t_r = \frac{3}{\omega_0} = 3 \sqrt{\frac{\tau}{K_d K_o}} \Rightarrow t_r = 2,05 \cdot 10^{-4} \text{ s} = 0,2 \text{ ms}$$

d'après le graph

TD 7:

BOUCLE A VERROUILAGE DE PHASE RÉCUPÉRATION DE L'HORLOGE D'UN SIGNAL MODULÉ BPSK DÉMODULATION BPSK

Un signal modulé BPSK est un signal quasi-périodique dont la phase varie de $\Delta\phi = \pm\pi$, sur commande du signal modulant :



On s'intéresse à la réception du signal $u_t(t)$. Le dispositif que l'on souhaite réaliser est donc un démodulateur. Le démodulateur permet de retrouver le signal $m(t)$ à partir du signal $u_t(t)$.

Pour réaliser un démodulateur BPSK, on comprend aisément qu'il est nécessaire, dans un premier temps, de récupérer la fréquence d'horloge, c'est à dire, reconstituer une horloge « parfaite », alors que l'on ne dispose que du signal $u_t(t)$:

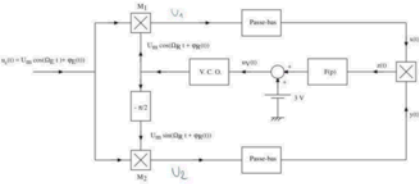


1°) Récupération du signal d'horloge à l'aide d'une boucle simple à « ou exclusif ».

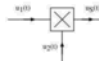
On peut baser sa réflexion sur la boucle utilisée lors du TD précédent : si la boucle est stable pour une certaine valeur de $q_0 - q_1$, l'est-elle encore pour $q_0 - q_1 + \pi$?

Une telle boucle convient-elle pour récupérer le signal d'horloge ?

2°) Pour pallier au problème précédent, on utilise une « Boucle de Costas » :



Tous les multiplicateurs sont identiques et caractérisés par :

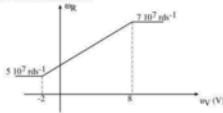


$$u_M(t) = \frac{2}{U_m} u(t) u_R(t)$$

$$U_m = 4 \text{ V}$$

Les deux filtres passe-bas sont identiques, de gain statique 1. Le gain statique du filtre de boucle est aussi égal à 1.

La caractéristique du V.C.O. est la suivante :



Dans l'hypothèse où la boucle est verrouillée déterminer l'expression de z(t) en fonction de U_m , q_0 , et q_1 .

Pour une valeur de $(q_0 - q_1)$ stable un saut de phase de $+/- \pi$ conduit à une instabilité

pour que une boucle fasse soit stable (il faut que le VCO génère le π exact).



$$z(t) = \frac{2}{U_m} \chi(t) j(t), \quad V_C = \frac{2}{U_m} [U_h(U_h(2\pi f_b t) + \chi(t)) + U_L(U_L(2\pi f_b t) + \chi(t))]$$

$$\chi(t) = \frac{2}{U_m} [U_h \cos(\omega_c t + \phi_e) + U_L \cos(\omega_c t + \phi_e)]$$

$$= U_m \left[\cos(\omega_c t + \phi_e) (1 + \frac{2}{U_m} \sin(\omega_c t + \phi_e)) + \cos(\omega_c t + \phi_e) (1 + \frac{2}{U_m} \sin(\omega_c t + \phi_e)) \right]$$

$$= U_m \left[\cos(\omega_c t + \phi_e) (1 + \frac{2}{U_m} \sin(\omega_c t + \phi_e)) + \cos(\omega_c t + \phi_e) (1 + \frac{2}{U_m} \sin(\omega_c t + \phi_e)) \right]$$

$$= U_m \left[\cos(\omega_c t + \phi_e) (1 + \frac{2}{U_m} \sin(\omega_c t + \phi_e)) + \cos(\omega_c t + \phi_e) (1 + \frac{2}{U_m} \sin(\omega_c t + \phi_e)) \right]$$

$$y(t) = -U_m \sin(\chi(t) - \phi_e)$$

$$x(t)y(t) = -2U_m \cos(\chi(t) - \phi_e) \sin(\chi(t) - \phi_e)$$

$$z(t) = -U_m [\sin(2(\chi(t) - \phi_e)) - \sin(\chi(t) - \phi_e - \chi(t) + \phi_e)]$$

$$z(t) = U_m \sin(2(\chi(t) - \phi_e))$$

3) boucle verrouillée $U_E = U_R = 6 \cdot 10^7$ rd s⁻¹
 $U_B \in [2, 8]$ $U_B = K_E U_R + U_C$

$$K_E = \frac{7 - 5}{8 + 2} \cdot 10^7 = \frac{2}{10} \cdot 10^7 = 0,2 \cdot 10^7 K_E$$

$$U_C = U_R - K_E U_B \quad (U_R = 5 \cdot 10^7, U_B = -2)$$

$$U_C = 5 \cdot 10^7 + 2 \cdot 10^7 = 5 \cdot 10^7 \text{ rd s}^{-1}, 5 \cdot 10^7$$

$$U_V = \frac{U_R - U_C}{K_E} = \frac{6 \cdot 10^7 - 5 \cdot 10^7}{2 \cdot 10^7} = 0,6 \times 5 = 3 V$$

$$\mathcal{Z}(t) F(p) + 3 = 3 = U_V$$

$$\downarrow \text{ gain} = 1$$

$$\Rightarrow \mathcal{Z}(t) = 0$$

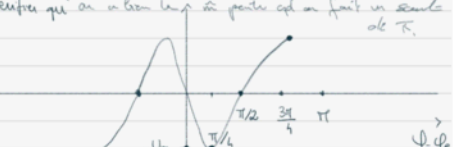
$$z(t) = 0 \Rightarrow -U_m \sin(2(\varphi_E - \varphi_R)) = 0 \text{ avec } \varphi_E < \varphi_R$$

$$2(\varphi_E - \varphi_R) = k\pi \quad k \in \mathbb{Z}$$

$$\varphi_E - \varphi_R = \frac{k\pi}{2} \rightarrow \varphi_E = \varphi_R + \frac{k\pi}{2}$$

4) périodicité de f et π -périodicité

Remarque qui on n'a pas le temps de faire car on fait un exercice de T .



d) à la sortie du VCO $U_R = U_E$.

$$e) \text{ La résonance est } x(t) = U_m \cos(\varphi_E - \varphi_R)$$

$$\text{ pour } \varphi_E = \pi \rightarrow x(t) = U_m \cos((\varphi_E - \varphi_R) + \pi)$$

$$x(t) = -U_m \cos(\varphi_E - \varphi_R)$$

En prenant signe ($x(t)$) on obtient le signal modulant.

$$U_R = K_E U_E = U_E$$

$$U_V = \frac{U_E - U_C}{K_E}$$

$$U_C \in [-5, 5] \quad U_E = \mathcal{Z}(t) + 3V$$

$$\rightarrow \begin{cases} U_E \in [-2, 8] \text{ (dans les limites de fonctionnement)} \\ U_V \in [-1, 7] \end{cases}$$

$$\rightarrow \begin{cases} U_E \in [-2, 8] \\ U_V \in [-1, 7] \end{cases}$$

$$-U_E - U_C \leq U_E \leq U_E + U_C$$

$$-0,2 \cdot 10^7 + 5 \cdot 10^7 \leq U_E \leq 7 \cdot 10^7 + 5 \cdot 10^7$$

$$5,2 \cdot 10^7 \leq U_E \leq 6,8 \cdot 10^7$$

$$\mathcal{Z}_{\min} \quad \mathcal{Z}_{\max}$$

4°) a) Tracer la courbe $Z = f(\varphi_E - \varphi_R)$.

b) Quelle est la période de la fonction $Z = f(\varphi_E - \varphi_R)$?

c) Quelle est la valeur de z pour $\varphi_E - \varphi_R = -\frac{\pi}{2}$ et pour $\varphi_E - \varphi_R = -\frac{\pi}{2} + \pi$?

d) Sur quel signal retrouve-t-on le signal d'horloge?

e) Indiquer une méthode permettant de retrouver le signal modulant m(t).

5°) Déterminer la plage de verrouillage $[\Omega_{E\min}, \Omega_{E\max}]$.

$$6) \text{ Werk} = \frac{d\Phi_e}{dt} \rightarrow \text{ Werk}(p) = p \cdot \Phi_e(p)$$

$$\Phi_e(p) = \underline{\text{Werk}}(p)$$

p

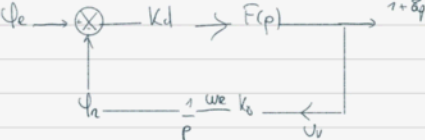
calcul de Kd du correcteur de phase.

$$g(t) = -\tan(\omega_n t \cdot \frac{\pi}{2} + \phi_e - \phi_R)$$

$$g'(t) = -2\omega_n \cos(\omega_n t \cdot \frac{\pi}{2} + \phi_e - \phi_R) \quad (\text{donc } \frac{d\phi_e - \phi_R}{dt})$$

$$\frac{d\phi_e - \phi_R}{dt} \Big|_{\phi_e = \phi_R} = -2\omega_n \rightarrow Kd = 2\omega_n$$

$$F(p) = \frac{1}{1 + 8p}$$



6*) Tracer le schéma fonctionnel en régime dynamique avec $\Phi_e(t)$ en entrée du système.

Déterminer l'expression de la fonction de transfert $\frac{u_v(p)}{\varphi_e(p)}$

Tracer l'allure de $u_v(t)$ si $\varphi_E(t)$ est un échelon d'amplitude ε , avec $\varepsilon \ll \pi$. Que se passe-t-il si l'échelon est d'amplitude $\pi + \varepsilon$?

Le système est-il stable pour $\varphi_E - \varphi_R = -\frac{\pi}{2}$ et pour $\varphi_E - \varphi_R = -\frac{\pi}{2} + \pi$? Que se passe-t-il si l'échelon est d'amplitude $\pi + \varepsilon$?

$$Uv = (Kd \cdot \Phi_e) \cdot Kd \cdot F(p)$$

$$Uv = \frac{1}{p} \cdot Kd \cdot Ue$$

$$Uv = \Phi_e \cdot Kd \cdot F(p) - Kd \cdot Kd \cdot F(p) \cdot Ue$$

$$Uv = \frac{Ue \cdot Kd \cdot Kd \cdot F(p)}{p} = \frac{\Phi_e \cdot Kd \cdot F(p)}{p}$$

$$Uv = \Phi_e \cdot Kd \cdot F(p) \times \frac{p}{p}$$

$$\frac{Uv}{Ue} = \frac{\frac{p \cdot Kd}{1 + 8p}}{\frac{p + Kd \cdot Kd \cdot F(p)}{1 + 8p}} = \frac{p \cdot Kd}{p + 8p^2 + Kd \cdot Kd}$$

$$= \frac{p}{p + Kd}$$

$$= \frac{1 + \frac{1}{Kd \cdot Kd} \cdot \frac{8}{p}}{1 + \frac{8}{Kd \cdot Kd} \cdot \frac{p}{p}}$$

tracer l'allure de $Uv(t)$ si $\Phi_e(t)$ est un échelon d'amplitude ε avec $\varepsilon \ll \pi$. Que se passe-t-il si l'échelon est d'amplitude $\pi + \varepsilon$?

$$Uv(p) = K(p) \cdot \Phi_e(p) \quad \text{avec} \quad \Phi_e(p) = \frac{\varepsilon}{p}$$

$$\lim_{t \rightarrow 0} = \lim_{p \rightarrow \infty} p \cdot \frac{\varepsilon \cdot p \cdot Kd}{p + \frac{8}{Kd \cdot Kd} \cdot p + \left(\frac{8}{Kd \cdot Kd} \right)^2} = \frac{\varepsilon \cdot Kd}{\frac{1}{p} + \frac{8}{Kd \cdot Kd} + \frac{8}{Kd \cdot Kd} \cdot \frac{1}{p}} = 0$$

$$\lim_{t \rightarrow \infty} = \lim_{p \rightarrow 0} p \cdot \frac{\varepsilon \cdot p \cdot Kd}{p + \frac{8}{Kd \cdot Kd} \cdot p + \left(\frac{8}{Kd \cdot Kd} \right)^2} = 0$$



Le système pour $\Phi_e - \varphi_R = -\frac{\pi}{2}$ et pour $\Phi_e - \varphi_R = -\frac{\pi}{2} + \pi$

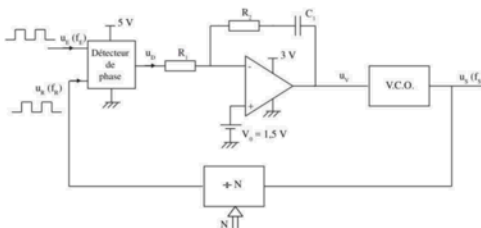
Qui est stable.

Bonus

TD 8: BOUCLE À VERROUILLAGE DE PHASE

SYNTHESEUR DE FREQUENCE

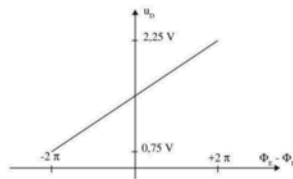
On étudie le dispositif suivant :



On souhaite réaliser, avec ce circuit, un synthétiseur de fréquence, fonctionnant entre 4 MHz et 5 MHz, par pas de 100 kHz, avec un temps de réponse à 5% inférieur à 1 ms, et un dépassement indiciel inférieur à 20%.

L'amplificateur opérationnel est de type rail à rail, et est alimenté entre 0 et 3 V.

La caractéristique statique du détecteur de phase est :



La caractéristique du V.C.O. est donnée par : $f_s = f_e + K'_v u_v$, avec $K'_{v0} = -1 \text{ MHz/V}$ et $f_e = 6 \text{ MHz}$

1°) Déterminer, en régime statique, la relation entre f_s et f_e .

$$f_s = N f_e \quad \text{car } f_s = \frac{f_s}{N} \text{ et Au verrouillage on a } f_e = f_s$$

2°) Quand N passe de la valeur N à $N+1$, quelle est la variation de la fréquence de sortie ? En déduire la valeur de f_e conforme au cahier des charges.

$$f_s = (N+1) f_e$$

$$f_s = N f_e + f_e$$

$$\Delta f_s = f_s - f_s = N f_e + f_e - N f_e = f_e \rightarrow f_e = 100 \text{ kHz}$$

$$3) N = \frac{f_s}{f_e} \rightarrow N_{\min} = \frac{4 \text{ MHz}}{100 \text{ kHz}} = 40, N_{\max} = \frac{5 \text{ MHz}}{100 \text{ kHz}} = 50$$

$$N \in [40, 50]$$

3°) Déterminer la plage de valeur $[N_{\min}, N_{\max}]$

$$u_C(p) = -R_2 \cdot \frac{1}{Cp} + V_0 = -i \cdot \left(R_2 + \frac{1}{Cp} \right) + V_0$$

$$U_D = V_0 + U_{R_2} = V_0 + i \cdot R_2 \Rightarrow i = \frac{1}{R_2} (U_D - V_0)$$

$$u_C(p) = -\frac{1}{R_2} (U_D - V_0) \left(R_2 + \frac{1}{Cp} \right) + V_0$$

$$= \left(-\frac{U_D}{R_2} + \frac{V_0}{R_2} \right) \left(R_2 + \frac{1}{Cp} \right) + V_0$$

$$= -U_D \frac{R_2}{R_2} - \frac{1}{P} \frac{U_D}{R_2 C} + \frac{V_0}{R_2} \frac{R_2}{R_2} + \frac{1}{P} \frac{V_0}{R_2 C} + V_0$$

$$pUV(p) = p \frac{U_D R_2}{R_2 C} - \frac{U_D}{P R_2 C} + p \frac{V_0 R_2}{R_2} + \frac{V_0}{P R_2 C} + V_0$$

$$\frac{d}{dt} U_V(t) = \frac{-R_2}{R_2 C} \frac{d}{dt} U_D - \frac{U_D}{R_2 C} + \frac{V_0}{R_2 C}$$

$$u_V'(t) = \frac{-R_2}{R_2 C} U_D - \frac{1}{R_2 C} U_D + \frac{V_0}{R_2 C}$$

$$R_2 C u_V'(t) = -R_2 C U_D - U_D + V_0$$

$$R_2 C u_V'(t) + R_2 C U_D + U_D = V_0$$

En régime statique, au verrouillage f_S est constant
donc U_D est constant $\forall t \geq 0$

\Rightarrow la solution est $U_D \forall t$ cst $= V_0 = 1,5V$

$$U_D = K_D (\Phi_E - \Phi_R) + V$$

$$K_D = \frac{1,25 - 0,75}{2\pi + 2\pi} = \frac{1,5}{4\pi} = \frac{3}{8\pi}$$

$$0,75 = \frac{3}{8\pi} (-2\pi) + V$$

$$0,75 + \frac{6\pi}{8\pi} = V = 0,75 + \frac{3}{4} = 1,5 \quad V = 1,5$$

$$U_D = 1,5 \Rightarrow \Phi_E - \Phi_R = 0$$

caractéristique VCO . $f_S = f_C + K_D' UV$

$$UV = \frac{f_S - f_C}{K_D'}$$

$$f_C \in N_{min} f_C$$

$$f_{max} = N_{max} f_C$$

$$\frac{f_{min} - f_C}{K_D'} \geq UV \geq \frac{f_{max} - f_C}{K_D'}$$

$$\frac{4 - 6}{-1} \geq UV \geq \frac{5 - 6}{-1}$$

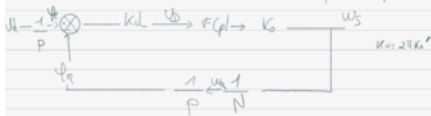
$$2 \geq UV \geq 1$$

4°) Déterminer l'équation différentielle entre $u_V(t)$ et $u_D(t)$ en fonction de R_1 , R_2 , C et V_0
En déduire la seule valeur possible de u_D en régime statique, quel que soit le point de fonctionnement.

5°) Pour les deux valeurs limites de N , calculer la valeur numérique de UV et de $\Phi_E - \Phi_R$.

$$\frac{w_b}{w_e} = w_e \rho \frac{C_L}{K_0}$$

en dynamique
que de cet on peut
que des pertes



En dynamique les équations

$$F(p) = \frac{w_b}{w_e} = - \frac{(R_1 + \frac{1}{pC_1})}{R_1} = - \frac{(R_2 C_1 p + 1)}{R_2 C_1 p}$$

$$H(p) = \frac{Vb F(p) K_0}{pN + Kd F(p) K_0}$$

$$= \frac{Vb F(p) K_0}{pN + Kd F(p) K_0} = \frac{-Vb K_0 (R_2 C_1 p + 1)}{pN + Kd K_0 (R_2 C_1 p + 1)}$$

$$= \frac{1}{p} \frac{(-Vb K_0 R_2 C_1 - Vb K_0)}{R_2 C_1 N - Kd K_0 R_2 C_1 p - Vb K_0}$$

$$= \frac{(-Vb K_0 R_2 C_1 - Vb K_0) p N}{Vb p^2 N - Vb K_0 R_2 C_1 p - Kd K_0 p + R_2 C_1 p - \frac{R_2 C_1 N p^2}{Vb K_0}}$$

$$\frac{1}{w_b} = \frac{-Vb K_0}{Kd K_0} \Leftrightarrow w_b = \sqrt{\frac{-Vb K_0}{N R_2 C_1}} \quad K_0 < 0$$

$$\frac{Ib}{w_b} = R_2 C_1 \Leftrightarrow E = \frac{R_2 (1/w_b)}{2} = \frac{R_2 f_r}{2} \sqrt{\frac{-Vb K_0}{N R_2}}$$

$$\frac{1}{w_b^2} = -\frac{N R_2}{Kd K_0} \Leftrightarrow w_b = \sqrt{\frac{-Vb K_0}{N R_2 C_1}} \quad K_0 < 0$$

$$\frac{Ib}{w_b} = R_2 C_1 \Leftrightarrow E = \frac{R_2 (1/w_b)}{2} = \frac{R_2 f_r}{2} \sqrt{\frac{-Vb K_0}{N R_2}}$$

$$E = \frac{f_r}{2} \approx 9.7 \quad \Omega = f_r w_b \quad \text{on prend le N le que nous avons depuis temps réponse}$$

cas 1: phq $I_1 = \frac{3}{5} S$ $E = \frac{1}{2} f_r \frac{3\sqrt{2}}{5} \quad \text{donc } N = 50$

$$\frac{3\sqrt{2}}{w_b} < 1.10^{-3}$$

$$\frac{3\sqrt{2}}{1.10^{-3}} < w_b = \sqrt{\frac{-Vb K_0}{N R_2 C_1}}$$

$$\frac{3\sqrt{2}}{10^{-6}} < \frac{-Vb K_0}{N R_2 C_1}$$

$$\Leftrightarrow R_2 C_1 < \frac{-Vb K_0}{10^{-6}} = 833 \mu s$$

$$E = \frac{1}{2} \frac{1}{f_r} = \frac{R_2 (1/w_b)}{2}$$

$$R_2 C_1 = \frac{f_r}{\sqrt{2} \times \sqrt{\frac{N R_2 C_1 + E}{-Vb K_0}}} = \frac{\sqrt{2}}{Vb K_0}$$

$$R_2 C_1 = 833 \mu s$$

exemple: $C_1 = 10 \text{ nF}$, $f_r = \frac{1}{L_1} 10^{-3} = 833 \text{ kHz}$, $R_2 = 23.3 \text{ k}\Omega$

6°) Calculer la fonction de transfert $\frac{w_b(p)}{w_e(p)}$ (boucle fermée) en régime dynamique.

7°) A l'aide du graphique ci-dessous, donner les conditions permettant de calculer les valeurs de R_1 , R_2 et C , permettant de répondre au cahier des charges.

TD 9: CONVERTISSEUR FRÉQUENCE TENSION POUR ANÉMOMÈTRE

Beaucoup de capteurs fournissent un signal dont la fréquence est fonction de la grandeur physique à mesurer. C'est le cas d'un anémomètre à coupleles (www.elmed.it):



La relation entre la vitesse de rotation du moulinet N et la vitesse du vent V, relation fonction de la géométrie des coupleles, est dans notre cas :

$$N \text{ (en tr/s)} = 0.5 \cdot V \text{ (en km/h)}$$

L'axe du moulinet est solidaire d'un disque comportant une piste optique :



Un système optique permet de fabriquer un signal numérique fonction de la couleur (noire ou blanche) de la zone sous le capteur optique. Le disque optique utilisé comporte 512 secteurs : 256 secteurs noirs et 256 secteurs blancs. La fréquence du signal ainsi générée est fonction de la vitesse du vent.

Afin d'obtenir une tension représentant la vitesse du vent, il faut utiliser un convertisseur fréquence tension. Une boucle à verrouillage de phase peut assurer cette fonction.

L'objectif de ce problème est de réaliser un système mesurant une vitesse de vent comprise entre 10 km/h et 100 km/h.

1°) Calculer la valeur minimale et maximale de la fréquence obtenue pour une vitesse de vent comprise entre 10 km/h et 100 km/h

2°) On utilise dans ce paragraphe une boucle à verrouillage de phase avec un OU exclusif alimenté en 5 V.

Le filtre de boucle est un passe-bas du premier ordre, d'amplification statique égale à 1 et de constante de temps τ égale à 1 ms.

Soit f_R la fréquence de sortie du VCO et $u_V(t)$ la tension d'entrée. La relation entre f_R et u_V , pour une tension u_V comprise entre 0 et 10 V, est :

$$f_R = f_0 + K'_0 \cdot u_V \quad \text{avec } f_0 = 1 \text{ kHz et } K'_0 = 3 \text{ kHz/V}$$

On note $u_E(t)$ la tension d'entrée de la boucle, donc la tension de sortie de l'anémomètre, et f_E sa fréquence, $u_{S1}(t)$ la tension de sortie du VCO et $u_{S2}(t)$ la tension de sortie du détecteur de phase.

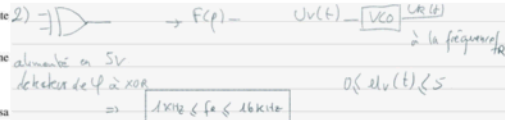
2.1. Calculer la plage de verrouillage.

$$1 \text{ (tr/m.h)} = \frac{1}{2} \text{ km/h} \quad \text{Wind s}^{-1} = \frac{\pi D}{60} N \cdot \frac{1}{2} \text{ km/h} = \frac{0.785}{60} N$$



$$\begin{aligned} \text{pour } 1 \text{ tour} \\ \frac{1}{2} = \frac{1}{512} \Rightarrow T = \frac{2}{512} = \frac{1}{256} = 256 \text{ Hz} \\ \text{pour } N \quad \frac{1}{2} = \frac{1}{N \cdot 512} \Rightarrow T = \frac{2}{N \cdot 512} = \frac{2}{N \cdot 512} \end{aligned}$$

$$\begin{aligned} N = 0.5 V \text{ (en km/h)} \\ V = 10 \text{ km/h} \rightarrow N = 5 \text{ tr/s} \quad f_{min} = 1.28 \text{ kHz} \\ V = 100 \text{ km/h} \rightarrow N = 50 \text{ tr/s} \quad f_{max} = 12.8 \text{ kHz} \end{aligned}$$



2.2.

U_V VCO $U_E(t)$ à la fréquence f_E

$$f_E = K'_0 U_V + f_0$$

$$f_{min} = K'_0 U_{min} + f_0 \quad f_{max} = (f_{max} - f_0) / K'_0 = \frac{1.28 \cdot 10^3 - 1 \cdot 10^3}{3 \cdot 10^3} = \frac{148}{3} \text{ Hz}$$

$$U_{min} = 0.093 \text{ V}$$

$$U_{max} = 3.93 \text{ V}$$

2.2. Calculer la tension de sortie de ce système pour une vitesse de vent égale à 10 km/h, puis 100 km/h. En déduire la relation donnant cette tension en fonction de la vitesse du vent, notée V .

2.3

Ne pas oublier la formule précédent car conduit à un VCO à 0V ou 5V. La tension de sortie du capteur est fixe et égale à 0V ou 5V. Calculer alors la tension u_0 . Conclusion ?



2.3. Dans le cas où la vitesse du vent est nulle, la tension de sortie du capteur est fixe et égale à 0V ou 5V. Calculer alors la tension u_0 . Conclusion ?

$$f_c = K_d^1 U_0 + f_0 \\ = 3 \times 2,5 \cdot 10^3 + 1 \cdot 10^3 = 8,5 \cdot 10^3$$

$$f_c = N \cdot 256 \text{ Hz} \quad 8,5 \cdot 10^3 = 256 \text{ N}$$

$$8,5 \cdot 10^3 = N \\ 256$$

$$33,2 = N$$

$$N = 0,5 \text{ V (en km/h)} \Rightarrow V = 66,4 \text{ km/h.}$$

$$\frac{V}{0,5} = \frac{f_c}{128}$$

$$w_r = pF$$

$$w_r = pF \\ \frac{w_r}{w_r^0} = pF^0$$

2.4)



2.4. Le point de repos est défini comme étant le point de fonctionnement au milieu de la plage de verrouillage. On applique un échelon de fréquence à partir du point de repos.

On appelle $F_r(p)$ et $U_r(p)$ les transformées de Laplace des variations de la fréquence d'entrée et de la tension à l'entrée du VCO autour de leur point de repos.

Donner le schéma fonctionnel valable pour des variations autour du point de repos, avec $F_r(p)$ en entrée et $U_r(p)$ en sortie. On notera K_0 le coefficient du détecteur de phase.



$$F(p) = \frac{1}{1 + 8p}$$

$$H(p) = \frac{K_0 F(p) p}{p + K_0 F(p) 2\pi K_0} = \frac{K_0 F(p) p}{p + K_0 F(p) 2\pi K_0}$$

$$= \frac{\frac{2\pi K_0}{1+8p}}{p + \frac{2\pi K_0}{1+8p}} = \frac{\frac{2\pi K_0}{1+8p} p}{p + \frac{2\pi K_0}{1+8p}} = \frac{1}{1 + \frac{p}{1+8p}} = \frac{1}{1 + \frac{p}{2\pi K_0}} = \frac{1}{1 + \frac{p}{2\pi K_0}}$$

$$\frac{1}{U_0^2} = \frac{8}{2\pi K_0} \Leftrightarrow U_0 = \sqrt{\frac{2\pi K_0}{8}}$$

$$\frac{8}{U_0} = \frac{1}{2\pi K_0} \Leftrightarrow U_0 = \sqrt{\frac{2\pi K_0}{8}} = \frac{1}{\sqrt{8}} \cdot \sqrt{2\pi K_0}$$

$$E = \frac{1}{2\sqrt{8} K_0} \quad A = \frac{1}{K_0}$$

$$E = 1 \text{ ms} \quad K_0 = \frac{\pi}{V \cdot f_0} = \frac{\pi \cdot 5 \cdot 3 \cdot 10^3}{1 \cdot 10^{-3}} = 5677$$

$$K_0 = \frac{\pi}{50000 \cdot 10^{-3}}$$

$$K_0 = \frac{\pi}{50000}$$

$$E = \frac{5677}{50000 \cdot 3 \cdot 10^3} = 0,09 \approx 0,1$$

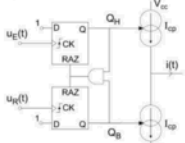
2.5. Calculer la fonction de transfert en boucle fermée, notée $H(p)$.

2.6. À partir de l'abaque donné en annexe à la fin du texte, calculer le temps de réponse à 5% de la boussole.

2.7. Une estimation de la plage de capture donne 977 Hz. Que se passe-t-il si le vent augmente brutalement de 0 à 20 km/h ?

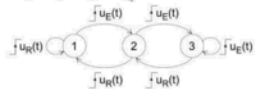
2.8. Comment modifier la constante de temps τ afin d'augmenter la plage de capture ? Quelle est alors la conséquence au niveau du signal u_V ?

3°) Pour corriger les défauts mis en évidence dans les questions précédentes, le détecteur de phase est maintenant le détecteur séquentiel à trois états avec une sortie en courant, aussi appelé détecteur à pompe de charge. Le schéma de principe de ce détecteur est le suivant :



Les deux bascules D sont sensibles aux fronts montants de $u_E(t)$ et $u_R(t)$, et possèdent une entrée de remise à zéro asynchrone. Les deux sorties des bascules définissent la valeur du courant de sortie $i(t)$. Les trois états possibles de ce détecteur, avec la valeur du courant de sortie $i(t)$, sont :

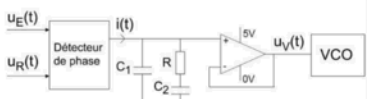
| | Q_1 | Q_2 | $i(t)$ |
|---|-------|-------|--------|
| 1 | 0 | 1 | $-I_p$ |
| 2 | 0 | 0 | 0 |
| 3 | 1 | 0 | $+I_p$ |



3.1. On applique sur le détecteur de phase deux signaux de même fréquence mais déphasé de $q_1 - q_2$. En partant de l'état 2, tracer les chronogrammes de $u_E(t)$, $u_R(t)$ et $i(t)$.

Le VCO est le même que dans le paragraphe précédent.

Le filtre est le suivant :



L'amplificateur opérationnel alimenté en 0 et 5V est de type "rail-to-rail".

3.2. Calculer la fonction de transfert $\frac{U_V(p)}{I(p)}$.

$$f_{5\%} \times W_0 = 30$$

$$f_{5\%} = 30 / W_0 = 30 / 5477 = 0,005 s$$

$$= 5 ms$$

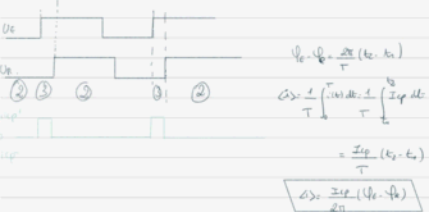
2.7)

si le vent est nul ($V = 0 \text{ km/h}$) $\Rightarrow U_V = 0,5V$ et $f = 85 \text{ kHz}$
 $V = 20 \text{ km/h} \Rightarrow N = 25,5V \Rightarrow f = N \cdot 25,5 \text{ Hz} = 2,56 \text{ kHz}$
 déplacement de la flèche de capture
 \Rightarrow décalage en angle de la boussole

2.8)

il faut \rightarrow la constante de temps τ du filtre passe bas pour que la fréquence de capture f_c du filtre passe bas \rightarrow et la tension U_V sera suffisante pour des impulsions de haute fréquence

3.)



3.2)



$$Z_1 + Z_2 = R + \frac{1}{j\omega C_W} = \frac{j\omega C_W R + 1}{j\omega C_W}$$

$$\frac{1}{Z_2} = \frac{1}{Z_1} + \frac{1}{Z_2} = \frac{j\omega W + j\omega W}{j\omega W R + 1}$$

$$= (j\omega)^2 C_W (j\omega R + j\omega W + j\omega W)$$

$$Z_2 = \frac{j\omega C_W R + 1}{(j\omega)^2 C_W (j\omega R + j\omega W + j\omega W)}$$

$$I(p) = \frac{j\omega C_W R + 1}{j\omega C_W (C_1 + C_2) + (j\omega)^2 C_W (j\omega R + j\omega W + j\omega W)}$$

$$= \frac{-1}{1 + PR \frac{C_1 C_2}{C_1 + C_2}}$$

réponse

3.3. Quelle est la condition sur $i(t)$ permettant d'obtenir une tension $U_V(t)$ constante ? En déduire l'état du détecteur de phase lorsque la boucle est verrouillée et en régime permanent.

3.3.

pour U_V constante il faut que (16) soit nul
cela est due à l'intégrateur

Av verrouillage $f_e = f_r \Rightarrow U_V$ constante $\Rightarrow i = 0 \Rightarrow$ le détecteur
est dans l'état 2.
3.4

dans les séquences. plage de capture - plage de verrouillage

L'AOP est alimenté en $E_0, 5,7V$ rail-to-rail \Rightarrow la tension U_V varie entre 0 et 5V

$$f_e = f_o + K_U U_V \text{ avec } f_o = 1\text{ kHz} \text{ et } K_U = 3\text{ kHz/V}$$

\Rightarrow

$$1\text{ kHz} \leq f_e \leq 16\text{ kHz}$$

3.5)

état 2 = état verrouillé.

NOR =



3.6)

\Rightarrow le vent est nul U_V constante (pas de f_e)

\rightarrow à la sortie du VCO U_V est un signal carré.

\rightarrow le détecteur est en état 1 et $i = -1\text{ pA}$.

\rightarrow la tension U_V va diminuer jusqu'à son valeur min $U_V(f_e = 1\text{ kHz})$.

3.6. Conclure sur l'utilisation de ce détecteur de phase dans cette application.

| | QH | QB | $i(t)$ |
|---|----|----|--------|
| 1 | 0 | 1 | -1pA |
| 2 | 0 | 0 | 0 |
| 3 | 1 | 0 | +1pA |

vitesse de vent $3,8\text{ km/h}$, ce qui est acceptable.